

FIG. 1

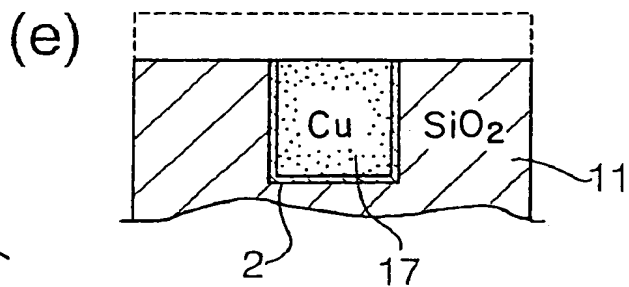
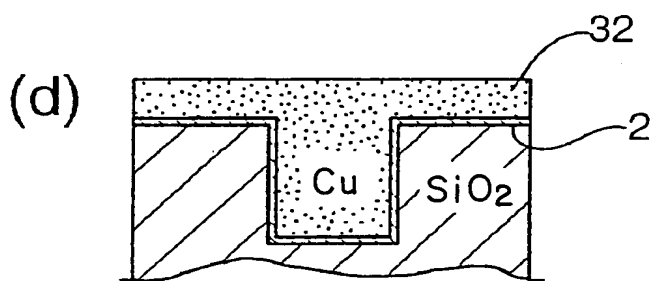
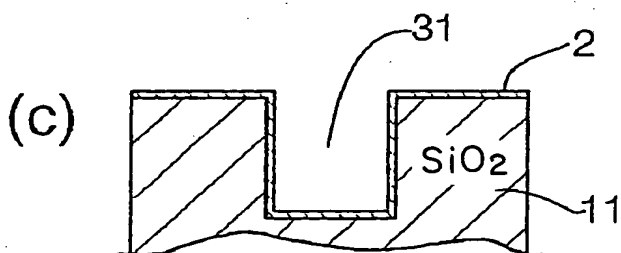
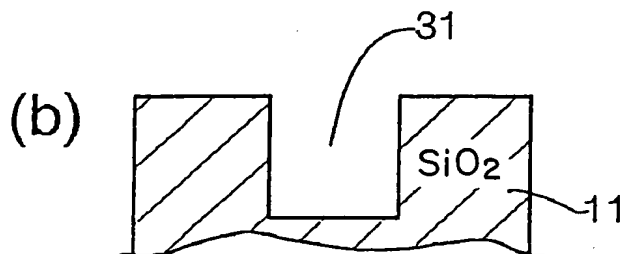
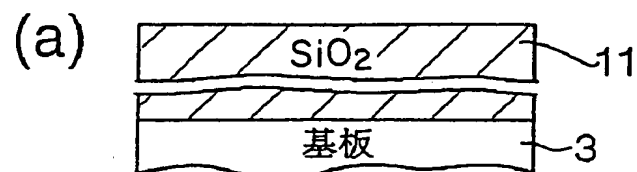
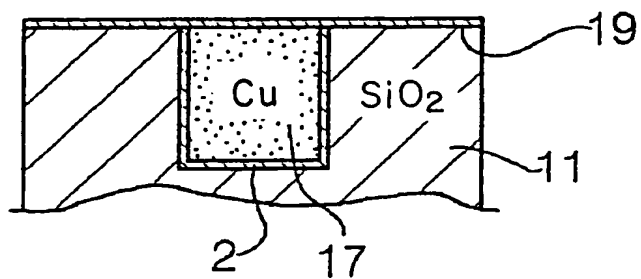
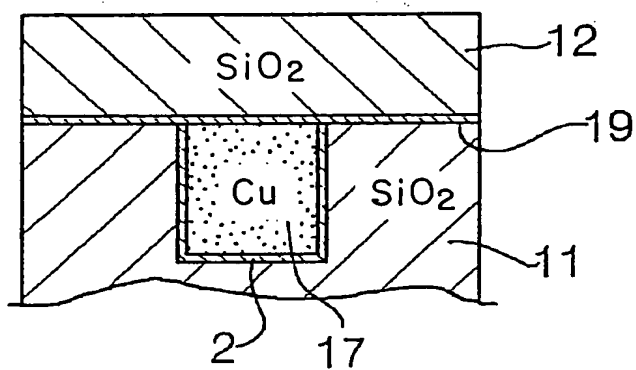


FIG. 2

(a)



(b)



(c)

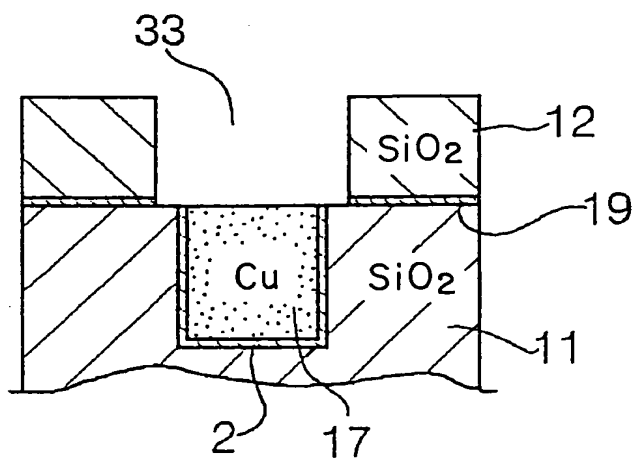
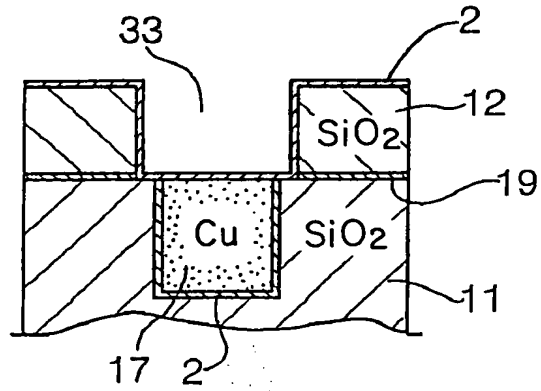
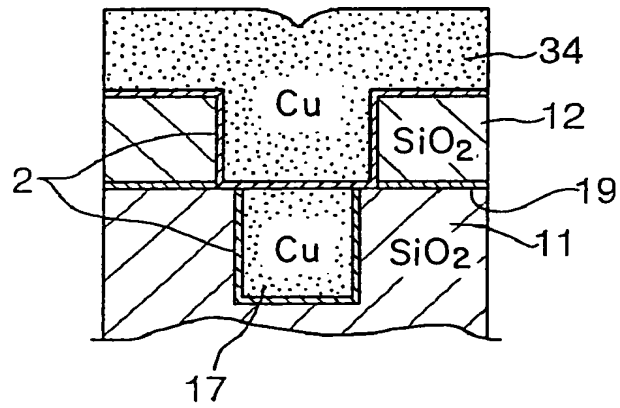


FIG. 3

(a)



(b)



(c)

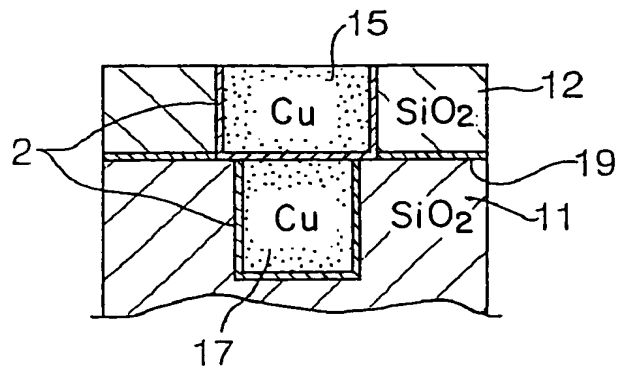


FIG. 4

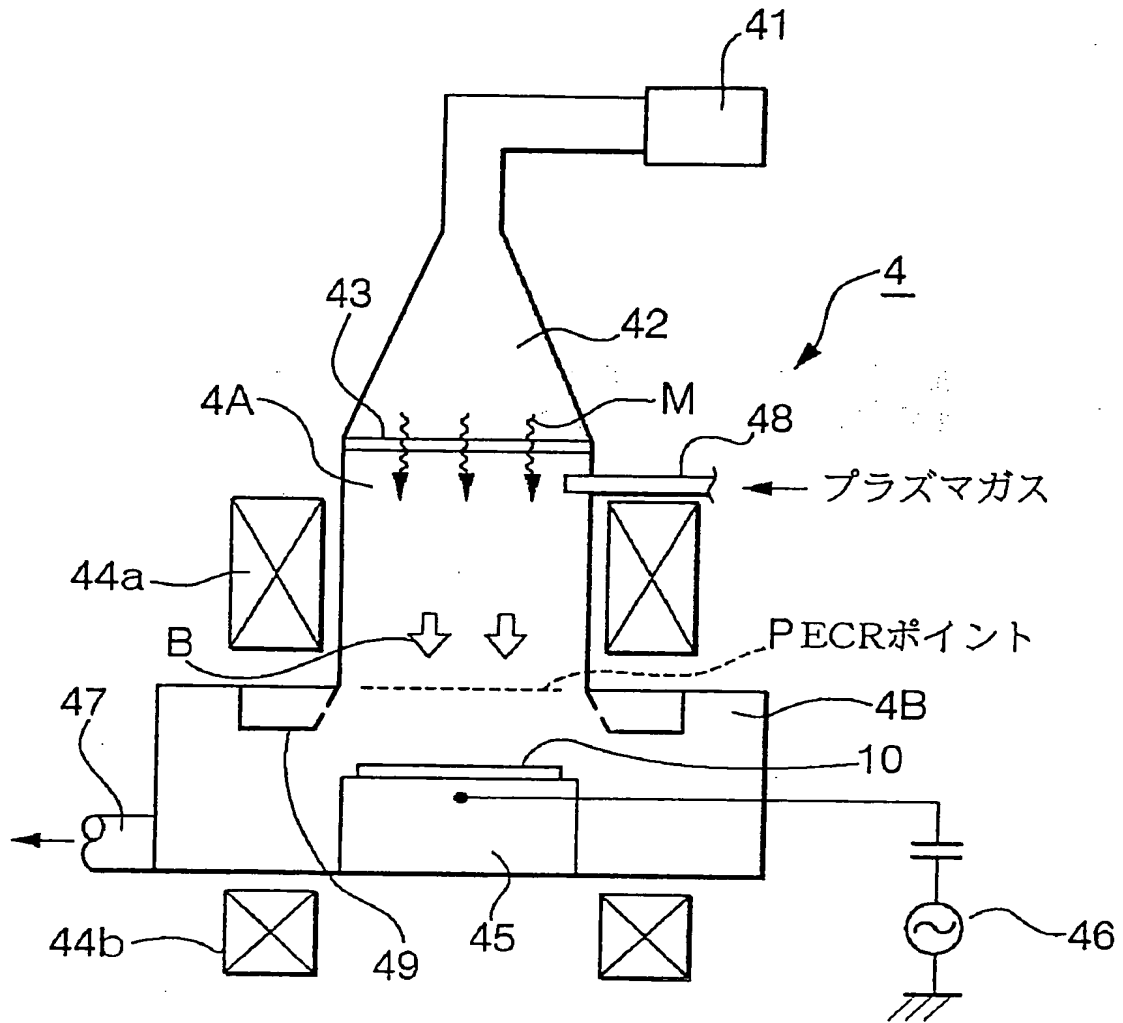


FIG. 5

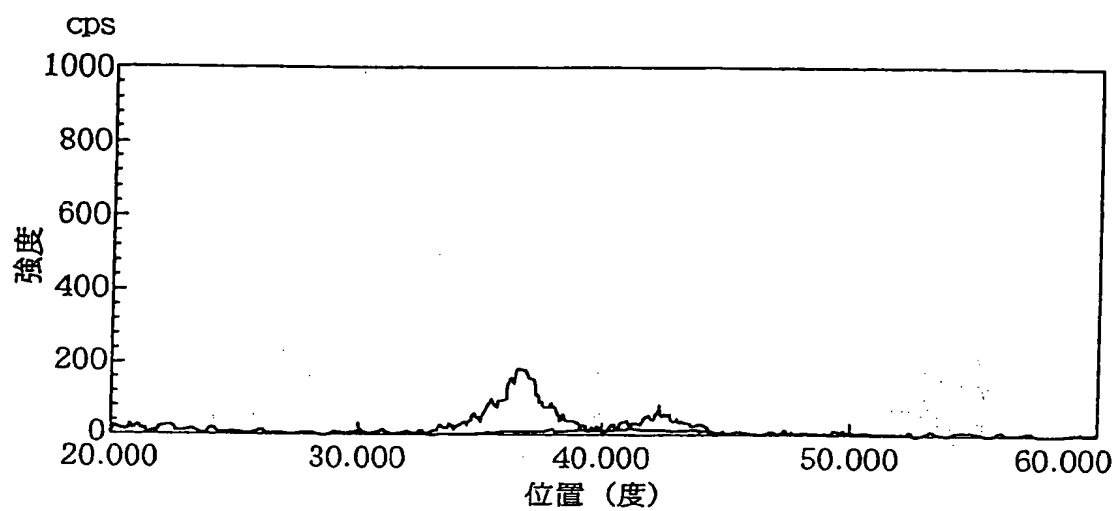


FIG. 6

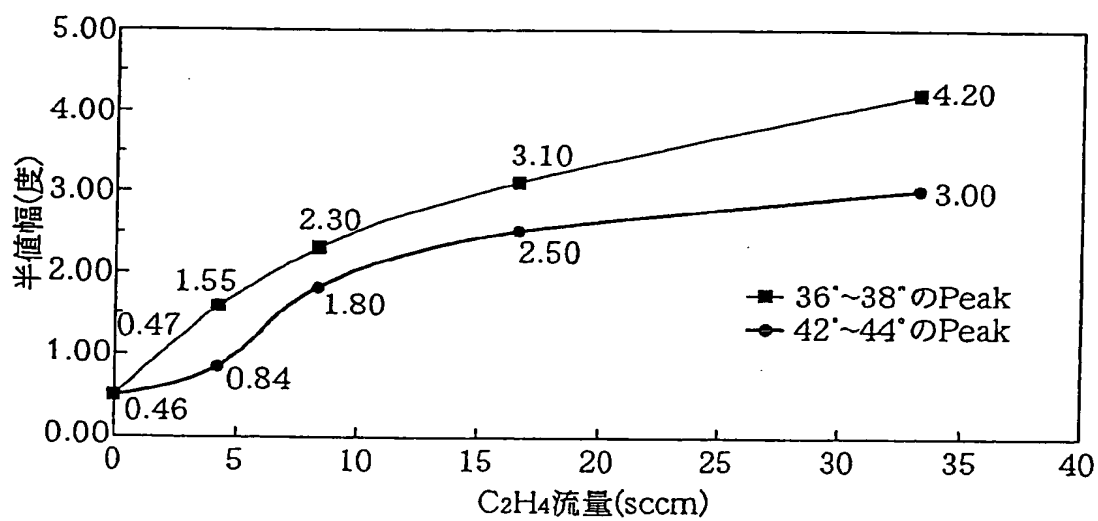


FIG. 7

C <sub>2</sub> H <sub>4</sub> 流量 (SCCM)	半値幅		Cuに対する バリア性
	第1のピーク	第2のピーク	
0	0.46	0.47	○
4.2	1.55	0.84	○
8.3	2.30	1.80	○
16.7	3.10	2.50	△
33.3	4.20	3.00	×

FIG. 8

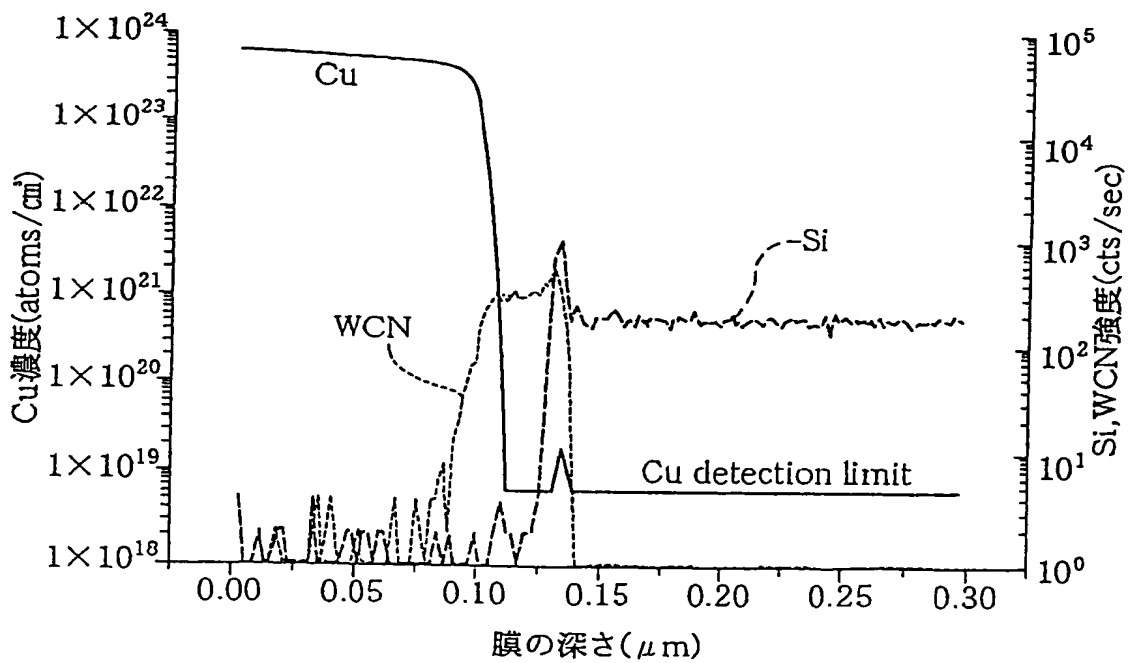
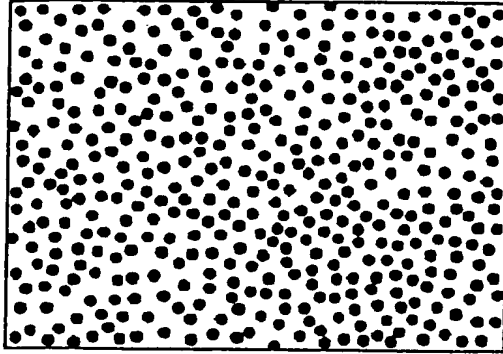
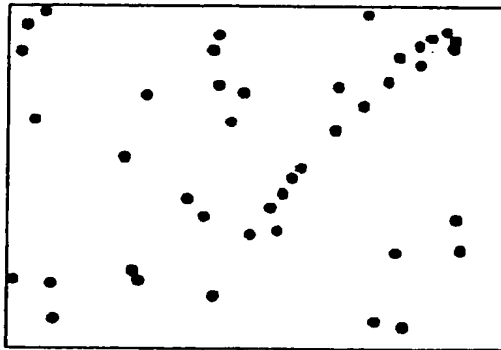


FIG. 9

(a)



(b)



(c)

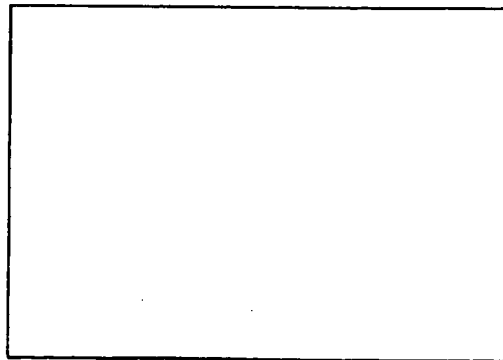


FIG. 10

09557055-090700



FIG. 11

	カバレッジ(%)		
	B/A	C/A	D/A
WCN	20	32	28
WN	16	24	20

FIG. 13

	密着力(kpsi)	
	SiO <sub>2</sub>	SiN
WCN	4.5	4.2
WN	2.3	1.8

FIG. 14

N/W比	C/W比	密着性(kpsi) SiO <sub>2</sub>
0	0	<1/<1
0	0.48	5.0/4.7
0	0.79	6.2/5.1
0	0.98	5.4/3.7
0	1.23	5.4/4.2
0.48	0	2.3/1.8
0.49	0.12	4.0/3.7
0.47	0.24	4.5/4.2
0.42	0.34	6.2/5.2
0.4	0.54	4.2/3.9
0.39	0.75	5.1/4.2
0.32	0.98	6.1/3.4
0.79	0	2.1/1.2
0.78	0.3	2.8/1.8
0.74	0.41	2.1/2.4
0.7	0.62	2.6/2.0

FIG. 15

12 / 15

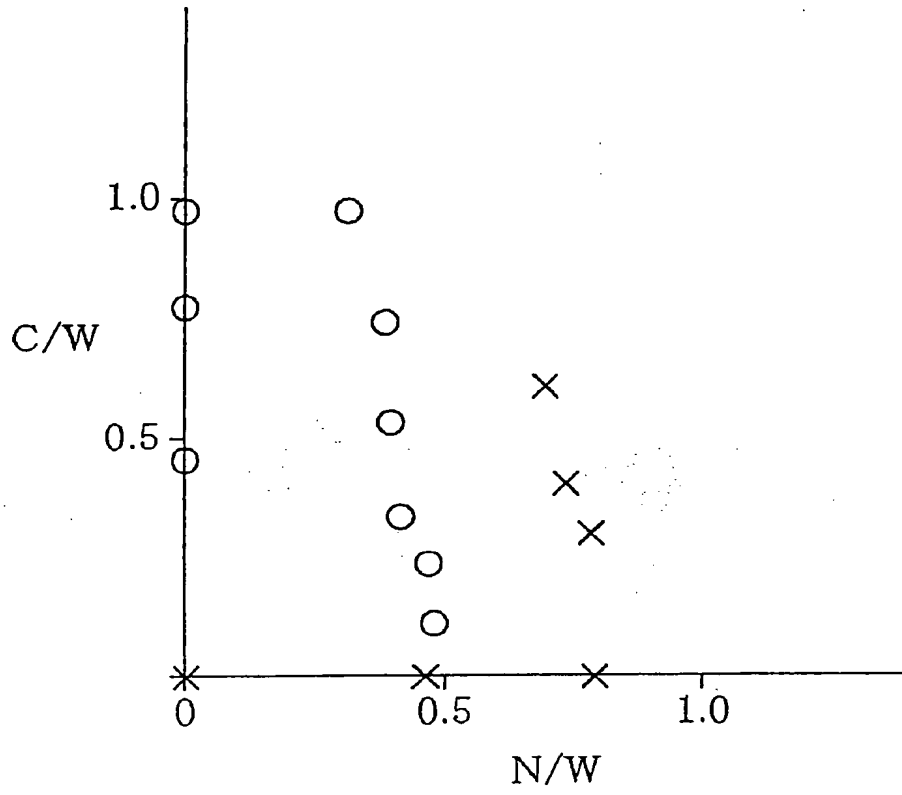


FIG. 16

CF4	A部	B部	C部	D部
0sccm	100%	16%	24%	20%
4.2sccm	100%	23%	36%	30%
8.3sccm	100%	27%	40%	34%
16.7sccm	100%	32%	45%	38%
C <sub>2</sub> H <sub>4</sub>				
8.3sccm	100%	20%	32%	28%

FIG. 17

002060 95025960

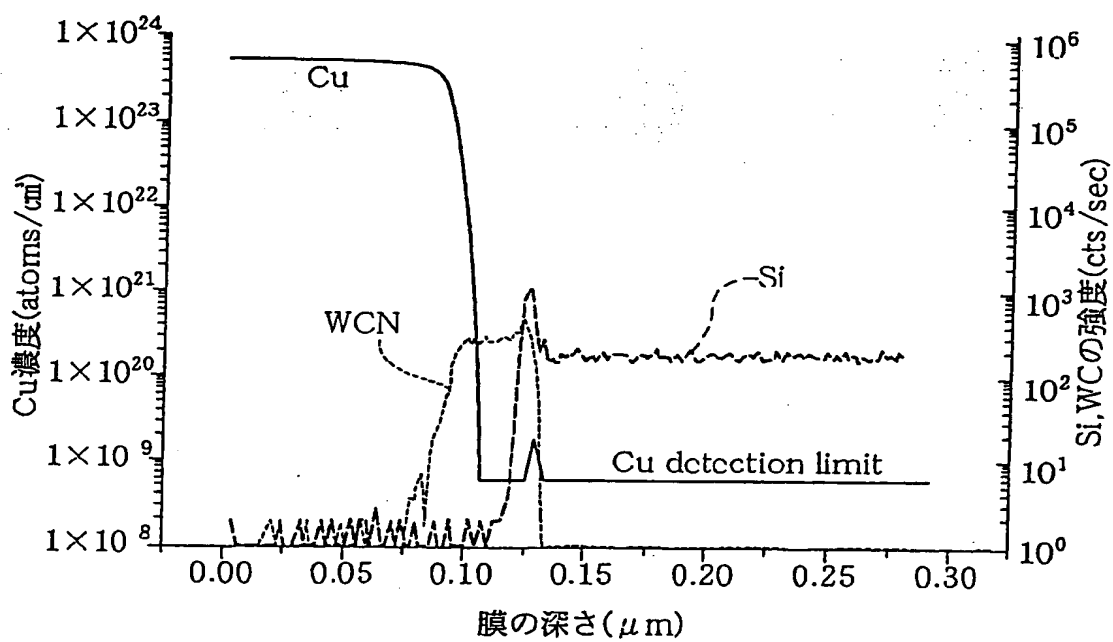


FIG. 18

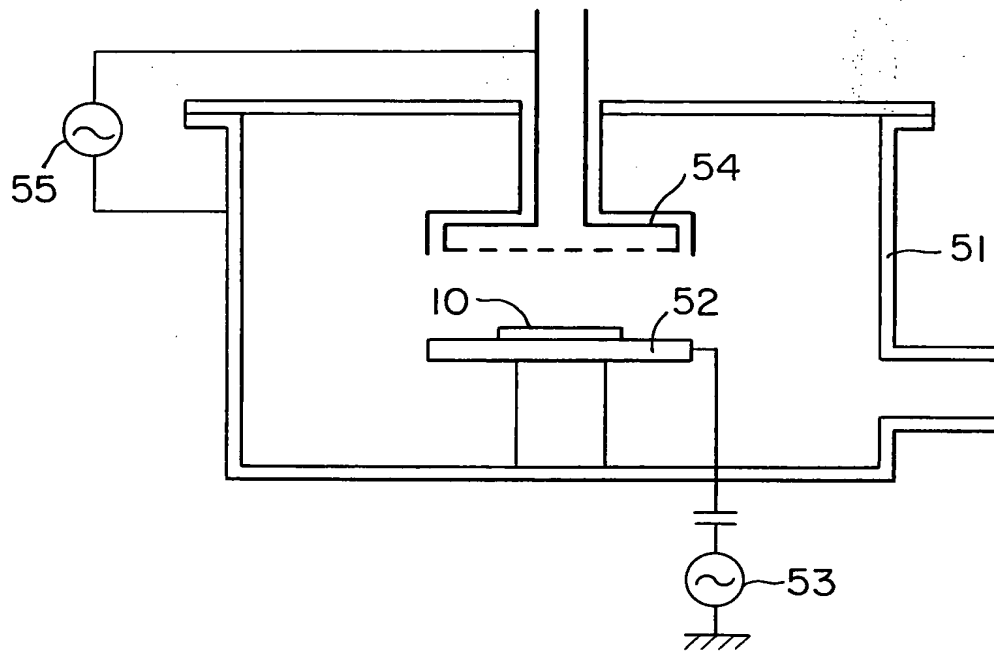


FIG. 19

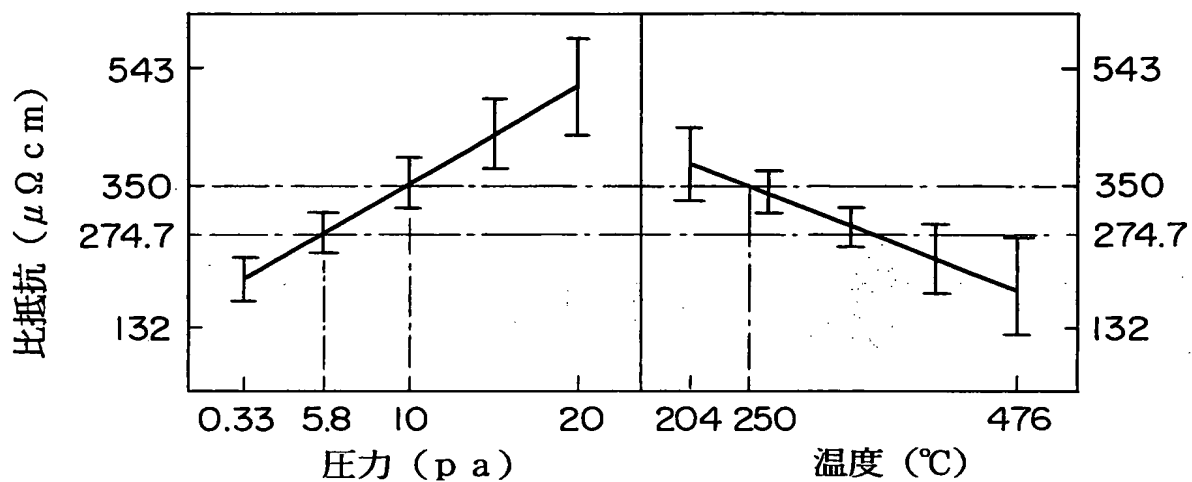


FIG. 20

比抵抗 ( $\mu\Omega \text{ cm}$ )	半 値 幅	
	第1のピーク	第2のピーク
189	1.62	0.91
275	2.31	1.65
347	3.05	2.39
420	4.02	2.98
491	4.78	3.52

FIG. 21